

مدل‌سازی زبری سطح (RA) و نرخ برداشت براده برداری (MRR) در ماشین‌کاری تخلیه الکتریکی (EDM) با شبکه عصبی - فازی و بهینه‌سازی آن با استفاده از الگوریتم ژنتیک

مهراد معروف وند^{۱*}

گروه ساخت و تولید، رشته مهندسی مکانیک، دانشکده فنی و مهندسی، دانشگاه آزاد اسلامی، واحد علوم و تحقیقات کرمانشاه، کرمانشاه، ایران

چکیده

فرایند EDM یکی از روش‌های پیشرفته براده برداری است که در آنولتاژ پالسی و منقطع برقرارشده بین دو الکترود ابزار و قطعه کار (که هر دو در سیالی به نام دیالکتریک غوطه‌ورنده) باعث ایجاد جرقه در نزدیک‌ترین نقطه در حدفاصل بین آن‌ها گردیده و هر جرقه جزء کوچکی از ماده سطح قطعه کار را جدا می‌کند و درنهایت بعد از تعداد زیادی جرقه شکل مکمل پیشانی ابزار درروی قطعه کار حک می‌گردد. مدل‌سازی کلاسیک از نخستین قدم خطای بزرگی مرتكب می‌شود که فقط در سیستمهای ساده (خطی یا نزدیک به خطی) قابل صرف‌نظر است و آن محاسبه‌ی شاخص‌های تمایل به مرکز و پراکندگی است که به‌این ترتیب اهمیت فردی تک‌تک داده‌ها از بین می‌رود و درنتیجه سیستم قادر به کشف پیچیدگی‌ها نخواهد بود؛ و برای اغلب مسئله‌های مهندسی با ویژگی‌های گوناگون و روابط غیرخطی قابل استفاده نمی‌باشد. در این تحقیق یک مدل شبکه انفیس بر مبنای داده‌های حاصل از مدل مقیاس ازمایشگاهی برای شبیه‌سازی ارائه گردیده است. برای این منظور از یک سیستم شبکه عصبی فازی استفاده شده که پارامترهای شبکه فازی توسط الگوریتم ژنتیک بهینه گردیده است.

واژه‌های کلیدی: ماشین‌کاری تخلیه الکتریکی، شبکه عصبی - فازی، بهینه‌سازی، الگوریتم ژنتیک

مقدمه

ماشین کاری با روش تخلیه الکتریکی^۱ یکی از روش‌های تولید مخصوص است که کاربرد وسیعی یافته است. این روش یک فرآیند ماشین کاری غیر سنتی یا مخصوص محسوب می‌گردد که امروزه در حال جایگزینی با بسیاری از فرآیندهای ماشین کاری سنتی همچون دریل کاری، تراشکاری، فرزکاری و ... می‌باشد. در این روش برای براده برداری هیچ‌گونه تماس مستقیمی بین قطعه کار و الکترود برقرار نمی‌شود و درنتیجه نیروی فیزیکی نخواهیم داشت. آهنگ جدا شدن فلز یا براده برداری به رسانایی الکتریکی قطعه کار بستگی دارد نه سختی آن. این روش برای ماشین کاری کلیه مواد هادی جریان به کار می‌رود با هر مقدار سختی که داشته باشند و از چهار بخش تشکیل می‌شود: ۱- الکترود، ۲- قطعه کار، ۳- سیال دی الکتریک، ۴- منبع تأمین جریان چنانچه بین دو الکترود قطعه کار و الکترود اختلاف پتانسیلی اعمال شود در اثر برخورد شدید الکترون‌ها به دی الکتریک بین دو الکترود مولکول‌های دی الکتریک یونیزه می‌شوند و کانالی از یون بین دو الکترود به وجود می‌آید که به آن کanal پلاسمای گویند. (پلاسمای حالت چهارم ماده است)؛ و در اثر برخورد شدید یون‌ها به قطعه کار باربرداری صورت می‌گیرد^(۱). با زدن جرقه از یک سو و پیشروی ابزار به سمت قطعه کار از سوی دیگر (به صورت ارتعاش رفت و برگشتی با فرکانس بالا) به مرور زمان شکل ابزار در قطعه کار براده برداری می‌شود. هر جرقه درجه حرارتی بین ۸۰۰۰ تا ۱۲۰۰۰ درجه سانتی‌گراد تولید می‌کند. اندازه چاله‌ای که هر جرقه از قطعه برابر می‌دارد به میزان انرژی جرقه بستگی دارد که مهم‌ترین عامل مؤثر منبع تأمین جریان است عمق چاله به وجود آمده از چندین میکرون تا ۱ میلی‌متر متفاوت است^(۲).

فرایندهای ماشین کاری الکتریکی به دودسته تقسیم می‌شوند: ۱- اولین آن‌ها ماشین‌های تخلیه الکتریکی هستند. در اینجا اثر خوردگی از یک توالی سریع از پالس‌های الکتریکی در از بین بردن فلز از روی قطعه کار بکار گرفته می‌شود. ۲- فرایند دوم، فرایندهای الکتروشیمیایی و فرسایش با الکتروولیت هستند. فرایند ماشین کاری تخلیه الکتریکی یا به عبارت دیگر ماشین کاری اسپارک بر روی اثر خوردگی جرقه الکتریکی بر روی هر دو الکترود پایه‌گذاری شده است. یاد داشتن این نکته که اگر هردوی قطعه کار و الکترود هم از یک جنس باشند، بیشترین سائیدگی در قطعه‌ای به وجود می‌آید که روی الکترود منفی بسته شده باشد، الزاماً است؛ بنابراین برای به دست آوردن خوردگی ماکریم از قطعه کار، درحالی که الکترودمان سایش بسیار کمی داشته باشد، باید قطعه کار را به پایه منفی و الکترود یا ابزار را به پایه مثبت وصل کنیم^(۳).

فرایند ماشین کاری تخلیه الکتریکی شش مرحله دارد: ۱- الکترود به قطعه کار نزدیک شده. هر دو بردار می‌شوند (عموماً قطعه کار مثبت و الکترود منفی)، ۲- (چون سطح الکترود و قطعه کار هر دو در اشل میکرونی دارای پستی و بلندی می‌باشند بنابراین بین دونقطه که نزدیک‌ترین فاصله را نسبت به جاهای دیگر باهم دارند جرقه الکترونی شکل می‌گیرد. ۳- N کanal پلاسمای شکل می‌گیرد. ۴- در اثر تمرکز بالای کanal پلاسمای چاله‌ای از قطعه کار ذوب می‌شود. ۵- فشار کanal پلاسمای بسیار بالا است. با قطع شدن جرقه و در پی آن قطع شدن کanal پلاسمای چون مذاب در آن دما و فشار نمی‌تواند دوام داشته باشد به یک‌باره باحالت انفجاری به اطراف پراکنده می‌شود. ۶- دی الکتریک با شستشوی خود ذرات پراکنده شده را جمع‌آوری می‌کند^(۴).

فرایند براده برداری توسط جرقه

قطعه کار در حمامی از دی الکتریک غرق می‌شود؛ و این دی الکتریک پنج سانتی‌متر بالاتر از سطح قطعه کار را می‌پوشاند، این کار از آتش گرفتن دی الکتریک در اثر جرقه‌ها جلوگیری می‌کند. الکترود و قطعه کار به دو سر یک منبع ولتاژ DC با ولتاژ بالاتر از ۵۰، ۶۰ ولت وصل شده‌اند. دی الکتریک در چرخه‌ای توسط پمپ می‌چرخد. فاصله هوایی برای جرقه‌زنی در حدود ۲۵ تا ۱۰۰ میکرومتر توسط سرو موتور ثابت نگه‌داشته می‌شود. زمانی که منبع تغذیه روشن شد، پس از انتخاب مقادیر جریان‌ها،

^۱ EDM

ولتاژها، فاصله مجاز *gap*، زمان‌های روشن/خاموش، زمان‌های شستشو و ... با استفاده از ورودی‌های مختلف (مکانیکی با سلکتورها یا به صورت عددی و با استفاده از یک سیستم میکروپروسسوری)، ولتاژ به دو سر الکترود اعمال می‌شود، با اعمال ولتاژ در فاصله معینی از *gap* جرقه تولید می‌شود، سیال یونیزه شده و تخلیه الکتریکی صورت می‌گیرد، به علت حرکت سیال زیر محل فعال، سیال غیر یونیزه‌ای خواهیم داشت بنابراین باز سیال جداساز خوبی خواهد بود و سیکل ادامه می‌یابد... سیال انتخاب شده باید تا زمان وقوع شکست الکتریکی بعدی، نارسانا باقی بماند. زمانی که به ولتاژ دلخواه رسیدیم سیال باید سریع بشکند (شکست الکتریکی) و پس از عمل تخلیه در زمان خاموشی پالس (*Off time*) باز سریع غیر یونیزه شده به حالت اول برگرد. در این روش توالی تندی از جرقه‌ها به دست می‌آید (بین 500 تا 50000 جرقه در ثانیه)، هر جرقه‌ای، دمای محلی نقطه جرقه دیده را به حرارت بسیار بالائی در حدود 7000 تا 12000 می‌رساند این جرقه حرارت بالا باعث ذوب این نقطه از مکان جرقه دیده شده و ناحیه مذاب بسیار کوچکی را روی سطح قطعه کار به وجود می‌آورد، در زمان Off time دی‌الکتریک سرد به روی این نقطه با حرارت بسیار بالا می‌رسد و اختلاف دمای چند هزار درجه‌ای موجب انفجار نقطه ذوب شده می‌شود(۵). براده برداری اسپارک: روش ماشینکاری مدرنی است که نتایج بسیار مطلوب آن موجب گسترش هر روزه اسپارک در زمینه‌های مختلف صنعتی می‌شود. نامنظم‌ترین قالب‌ها به راحتی با آن شکل گرفته و آماده می‌شوند.

متأسفانه اکثر قسمت‌های مکانیزم اسپارک بسیار سریع اتفاق می‌افتد و از حیطه دید انسان خارج است. پدیده علمی براده برداری اسپارک ساده است. قطعه کار و ابزار در ناحیه کار بسیار به هم نزدیک می‌شوند در حالی که باهم هیچ برخوردی ندارند. ولتاژی بین ابزار و قطعه کار برقرار می‌شود. در ابتدا هیچ جریانی برقرار نمی‌شود چون دی‌الکتریک بین الکترود و قطعه کار عایق است. اگر فاصله هوایی کاهش یابد، طبق رابطه $E=v/d$ شدت میدان الکتریکی به دلیل فاصله بسیار کم بین 25 تا 100 میکرومتر) بزرگ شده و پیوندهای کووالانسی واقعیتی دی‌الکتریک را شکسته و آن را یونیزه می‌کند؛ و باریکه‌ای از الکترون‌ها و یون‌های مثبت و منفی بین الکترود و قطعه کار و به سمت قطب‌های مخالف جاری می‌شود و این یون‌ها تحت این میدان الکتریکی بسیار قوی شتاب گرفته و به الکترود و قطعه کار برخورد می‌کنند و در برخورد انرژی جنبشی یون‌ها به گرما تبدیل شده و نقطه برخورد بسیار گرم شده و ذوب می‌شود و تبخیر می‌شود؛ و حفره بسیار ریزی مشابه دهانه آتش‌فشان در زیر کانال یونیزه به وجود می‌اید. اگر این پالس قطع نشود دهانه آتش‌فشانی بزرگ و بزرگ‌تر شده و گرمابه لایه‌های داخلی الکترود و قطعه کار نفوذ می‌کند و سطح هر دو بهشت دهانه آتش‌فشانی بزرگ و بزرگ‌تر شده و گرمابه لایه‌های داخلی الکترود یونیزه شده و برای پالس جریان بعدی آماده شود(۶).

دی‌الکتریک: در ابتدای کشف اسپارک در روسیه از هوا به عنوان دی‌الکتریک استفاده شد. به زودی کشف شد که مشتقات نفت مزایای زیادی نسبت به هوا دارند. استحکام آن‌ها زیاد است؛ و با استفاده از مشتقات نفت از گپ کوچک‌تری می‌توان استفاده کرد و کیفیت اسپارک کاری با آن بسیار مطلوب است. در این نوع مواد فرکانس کار اسپارک می‌تواند بیشتر گردد و ذرات برداشته شده به راحتی توسط آن جابجا می‌شوند.

وظایف دی‌الکتریک: ۱- جداسازی: یکی از مهم‌ترین فواید دی‌الکتریک عایق سازی بین الکترود و قطعه کار است. دی‌الکتریک باعث باریک شدن پهنه‌ای کانال جرقه نیز می‌شود که این بهنوبه خود باعث بالا رفتن کیفیت سطح اسپارک می‌شود. ۲- یونیزاسیون: سیال انتخاب شده باید تا زمان وقوع شکست الکتریکی غیر رسانا باقی بماند. زمانی که ولتاژ فاصله هوایی به ولتاژ یونیزاسیون رسید، سیال باید سریع بشکند) شکست الکتریکی) و پس از عمل تخلیه باز سریع غیر یونیزه گردد. ۳- خنک‌سازی: دمای جرقه اسپارک در سطح الکترود و قطعه کار مقداری بین 12000° - 8000 دارد این گرمای بالا قطعه کار را سریع ذوب می‌کند که دی‌الکتریک باید هر دو سطح را خنک سازد. اگر الکترود خنک نگهداشته شود خوردگی آن نیز کاهش می‌یابد(۷).

شرایط لازم دی‌الکتریک: به طور تئوریک همه مایعاتی که عایق باشند می‌توانند به عنوان دی‌الکتریک مورد استفاده قرار گیرند. یک دی‌الکتریک باید شرایط زیر را داشته باشد.

۱- فرسایش: فرسایش زیاد قطعه کار داشته باشد در حالی که فرسایش الکترود توسط یون‌های آن کم باشد). یون‌های مشتب آن بسیار سنگین‌تر از یون‌های منفی آن باشد. ۲- تأثیر بر سلامتی: تحریک پوستی نداشته باشد، سمی نباشد، دود تولید نکند و بوی بد نداشته باشد. ۳- نقطه اشتعال: دی‌الکتریک نباید زود بخار شده و مشتعل شود. مایعات با درجه اشتعال پائین‌تر، گازهای زیادی را تولید می‌کنند که این گازها سرعت ماشین‌کاری را پائین آورده و احتمال آتش گرفتگی را بالا می‌برد. ۴- چگالی: مواد با چگالی بالا نرخ برادی برداری بالائی دارند. چگالی مواد معمولاً در دمای ۱۵ درجه سانتی‌گراد محاسبه می‌شوند. دی‌الکتریک‌های مورد استفاده امروزی چگالی بین ۰/۷۵۰-۰/۸۲۰ دارند. ۵- چسبندگی یا ویسکوزیتی: ویسکوزیتی، فاکتور بسیار مهمی است. روغن با ویسکوزیتی بسیار بالا برای ماشین‌کاری خوب است؛ و برای این نوع روغن چرخش مابین فاصله هوایی کوچک به سختی صورت می‌گیرد. بر عکس، این روغن سنگین برای سطوح خشن مناسب است.

در انتخاب روغن مناسب به عنوان دی‌الکتریک نکات زیر باید مورد توجه قرار گیرند:

۱- برای ماشین‌کاری کاربید تنگستن استفاده از نفت سفید مناسب‌تر است. ۲- برای ماشین‌کاری قطعات ریز با سطوح صاف (مثل صنعت ساعت‌سازی) نیز از نفت سفید استفاده شود. ۳- برای ماشین‌کاری قطعات با اندازه‌های متوسط (که $h35$ یا آن‌هایی که صافی سطح خوبی را لازم دارند) از روغن با ویسکوزیتی بین ۱۲-۲۰ cts استفاده شود. ۴- برای ماشین‌کاری قطعات بزرگ (با سطوح خشن) یا (h36) از روغن با ویسکوزیتی بین ۱۲ تا ۲۰ cts استفاده گردد.

مهم‌ترین مزایای ماشین‌کاری با روش تخلیه الکتریکی: ۱- ماشین‌کاری مدل‌های پیچیده که ساخت آن توسط ماشین‌ابزارهای معمولی دشوار است. ۲- ماشین‌کاری مواد فوق العاده سخت با ترانسنس بسیار بالا. ۳- ماشین‌کاری قطعات بسیار کوچک که ماشین‌ابزارهای معمولی قادر به تراش آن نیستند و به علت فشار دستگاه به قطعه آسیب می‌کنند. ۴- در فرایند ماشین‌کاری الکتریکی برخلاف ماشین‌کاری مکانیکی فلز ابزار می‌تواند از فلز قطعه کار نرم‌تر باشد و برادی برداری نیز هیچ ارتباطی به سختی مکانیکی قطعه کار ندارد. هرچند که فلزات سخت کمی سخت تر از فلزات نرم برادی برداری می‌شوند.

مهم‌ترین عیب ماشین‌کاری با روش تخلیه الکتریکی: ۱- عدم توانایی در ماشین‌کاری مواد غیر رسانا هست. ۲- سرعت پایین در برادی برداری. ۳- هزینه ساخت بالا و زمان زیادی که صرف ساختن الکترودها و دستگاه می‌شود(8).

قابلیت ماشین‌کاری: قابلیت ماشین‌کاری تقریباً مهم‌ترین عامل در تعیین جنس الکترود است. در بعضی از شرایط ماشین‌کاری مس بیش از ۵ برابر از ماشین‌کاری گرافیت زمان می‌برد. چون مس تمایل به پوسته شدن، ماسیدگی و پارگی دارد و نیازمند مقداری کار دست برای برداشتن پلیسه‌ها می‌باشد. ازانجایی که مس تمایل به چسبندگی دارد، وقتی که ماشین‌کاری ریب‌های باریک و قسمت‌های ظریف مدنظر باشد مس انتخاب خوبی نیست. همچنین مس مقاومت خوبی در مقابل نیروهای ماشین‌کاری و حرارت حاصل از اصطکاک نداشته و در حمل و نقل نیز ضربه‌پذیر است. اما گرافیت همانطور که ذکر شد تا پنج برابر سریع‌تر ماشین‌کاری شده و نیازی به عملیات اضافی همچون پلیسه گیری ندارد. ضمن اینکه به خاطر داشتن جرم مخصوص بسیار پایین (1/6-1/8) سبک بوده و حمل و نقل آن راحت است.

خوردگی الکترود: یکی از نگرانی‌های هر اپراتور اسپارک خوردگی الکترود است، زیرا خوردگی بیش از حد الکترود منجر به ساخت الکترود جایگزین می‌شود. با پارامترهای اسپارک مناسب میزان خوردگی گرافیت ۱ درصد عمق برادی برداری بوده در صورتی که این درصد برای مس بیشتر است. نقطه ذوب این دو ماده بازگوکننده میزان خوردگی آن‌ها در عملیات اسپارک است. نقطه ذوب مس ۱۱۰۰-۱۰۰۰ درجه می‌باشد که در رده فلزات درجه پایینی محسوب می‌شود. برای رسیدن به حداقل سرعت براده برداری نیاز به افزایش آمپر بوده و الکترود مسی به سادگی نمی‌تواند گرمای تولید شده را تحمل کند. گرافیت گرچه نقطه ذوب ندارد اما در ۳۵۰۰ درجه تضعیف می‌شود و با این نقطه مقاومت در برابر حرارت بالا می‌تواند با آمپر و سرعت بیشتری براده برداری نمود(9).

کیفیت سطح: اگرچه مس کیفیت سطح خوبی می‌دهد اما به تنها یی نمی‌تواند کاستی‌های عوامل تعیین‌کننده‌ای مانند زمان ماشین‌کاری را جبران کند. با گرافیت دانه‌ریز پرداخت سطح مشابه مس به اسرعت بیشتر و خوردگی الکترود کمتر می‌توان به دست آورد. صافی سطح $Ra7$ با الگوی اوربیتالی که نیازی به پولیش دستی ندارد به راحتی قابل حصول است.

معایب الکترودهای گرافیتی: ۱- تنوع گرافیت جامد بسیار زیاد بوده و هر نوعی از آن را نمی‌توان در جهت ساخت الکترود اسپارک استفاده نمود. ۲- امکان تشخیص گرافیت مناسب جهت ساخت الکترود بسیار مشکل بوده و در اغلب موارد فقط با ماشین کاری و اسپارک چند نمونه از آن می‌توان به کیفیت آن پی برد. ۳- ماشین کاری بر روی گرافیت با توجه به شکنندگی جزئی آن در ابتدا کمی مشکل بوده، لیکن با رسیدن به سرعت دوران و پیشروع مناسب به سادگی کار با آن پی خواهد بود. هرچند که هر جنس جدیدی اعم از انواع فولاد، مس، آلومینیوم، برنج و ... نیز نیاز به تجربه و تعویض ابزار، پیشروع و سرعت دوران برای رسیدن به حالت ایده آل دارد(10).

اسپارک کاری دقیق و سریع: اگر بخواهیم روش‌های براده برداری را به دودسته مکانیکی و فیزیکی تقسیم کنیم می‌بایست فرزکاری، تراشکاری و سنگزنی و غیره را جزو روش‌های مکانیکی دسته‌بندی کرده و براده برداری به روش الکتروشیمیابی (ECM) و اسپارک کاری (EDM) را در دسته فیزیکی جای داد که تفاوت مهم ماشین کاری تخلیه الکتریکی و ECM در سیال مورداستفاده در فرآیند است. در ECM سیال بکار رفته رسانای جریان (الکتروولیت) بوده اما در EDM از سیال به عنوان عایق (دی‌الکتریک) استفاده می‌شود.

ماشین کاری تخلیه الکتریکی روشی است که در آن از فلزات با روش تخلیه الکتریکی می‌توان براده برداری کرد. اسپارک عمل موضعی است که با تناوب زمانی، براده‌ها را به صورت حجم‌های فلزی کوچک (آرد مانند) به تدریج از سطح قطعه کار جدا می‌سازد که به این عمل اصطلاحاً اروژن – erosion (به معنای فرسایش) گفته می‌شود. موضوع دیگری که باید در مورد آن توضیح داده شود موتور خطی (liner motor) می‌باشد. موتورهای خطی اساساً مانند یک موتور معمولی دوار هستند که از یک طرف در طول بریده شده باشد و آن را به صورت مسطح (گسترده) درآوریم، این موتورها کاربردهای زیادی دارند مثلاً برای باز کردن درها، حرکت تسممهای نقاله، جرثقیل‌های سقفی، سیستم‌های قفل و ترمز و کلاچ‌ها؛ اما در اینجا بحث در مورد موتورهای خطی است که از سرعت بسیار بالای برخوردار هستند که در ماشین‌های اسپارک شرکت سادیک² استفاده شده‌اند که نسبت به همه موارد فوق از دقت و حساسیت فوق العاده‌ای باید برخوردار باشند. شرکت سادیک در اسپارک‌های مدل AΦ35L و AM35L از این موتورها بجای سیستم‌های هیدرولیکی و پیچی استفاده کرده است. در سال ۱۹۹۶ شرکت سادیک کار کردن بر روی موتورهای خطی، برای استفاده در اسپارک‌ها را آغاز کرد. این شرکت به مزایای موتورهای خطی در پارامترهایی نظیر سرعت و تنظیم پی برده بود. علاوه بر آن، به عقیده رئیس شرکت سادیک؛ آقای فورو کاواآ³ این کار جدید یک ضد حمله است که هدف قرار داده است زمان اسپارک کاری روی قالب‌ها را که با مرکز ماشین کاری سرعت بالا⁴ کاهش می‌یافتد. توضیح اینکه: قبل از اسپارک کاری با عملیات براده برداری توسط مرکز ماشین کاری سرعت بالا زمان اسپارک کاری روی قالب‌ها را کاهش می‌داده‌اند.

یافته‌ها

در سیستم استنتاج فازی مدل‌سازی اموزش یافته با شبکه عصبی، بعداز تعیین ورودی‌ها و خروجی‌ها باید تعداد تابع عضویت را برای هریک از آنها با الگوریتم ژنتیک تعیین کنیم و سپس بمنظور عملکرد و دقت سیستم فازی در تعیین خروجی داده‌های ورودی را به دو دسته اموزش و تست تقسیم کرده و قانونگذاری شبکه فازی با تابع عضویت داده شده براساس داده‌های اموزش توسط شبکه عصبی انجام می‌گیرد (دستور ANFIS در متلب). پس از اتمام اموزش، شبکه فازی مستقل از شبکه عصبی به عنوان مدیر تصمیم گیری عمل می‌کند و بمنظور اналیز عملکرد شبکه فازی داده تست ورودی را به سیستم فازی اعمال کرده و خروجی سیستم فازی را با خروجی واقعی مقایسه می‌کنیم.

² SODICK

³ Furu Kava

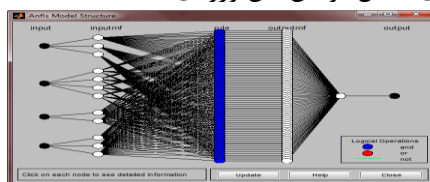
⁴ high speed machining center

اکنون با توجه به تعداد ویژگی کم داده ها و بررسی های انجام شده از روش گرید پارتبیشن با دستور متلب Genfis1 فضای داده ورودی پارتبیشن بندی گردیده شده است. با اعمال بهینه سازی ژنتیک بمنظور تعیین نوع و تعداد تابع عضویت برای هر مولفه فازی نتایج جدول زیر حاصل میشود.

نتایج سیستم فازی بهینه شده

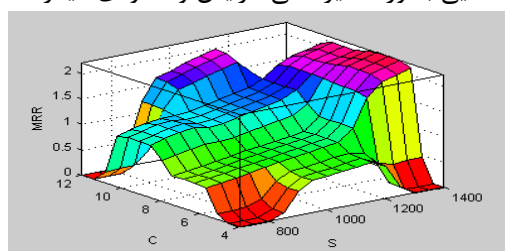
ANFIS-GA optimized Parameters		
پارامتر گروهی مدل	تعداد تابع عضویت	تابع عضویت
MRR	3 4 2 3	پیش‌شکل
R	2 2 2 3	گوسی

اکنون که بهترین ساختار فازی شامل بهترین تابع عضویت و تعداد تابع عضویت بهینه بمنظور مدلسازی دو پارامتر میزان MRR و میزان همواری Ra براساس الگوریتم ژنتیک بدست آمده است. لازم است مدلسازی پارامترهای خروجی را با سیستم فازی بهینه شده صورت گیرد که در قسمت بعد به مبحث مدلسازی و دقت مدلسازی پارامترها می‌پردازیم. ساختار شبکه عصبی فازی با ۴ ورودی و پارامتر خروجی MRR بهینه شده با ژنتیک بصورت زیر میگردد که توابع عضویت لایه ورودی و لایه خروجی بصورت بلوك دایره سفید رنگ و قوانین فازی بصورت دایره رنگی مابین دو لایه مشخص گردیده است و در قانونگذاری از عملگر منطقی اشتراک برای اعمال قوانین بین ورودی ها استفاده شده است.

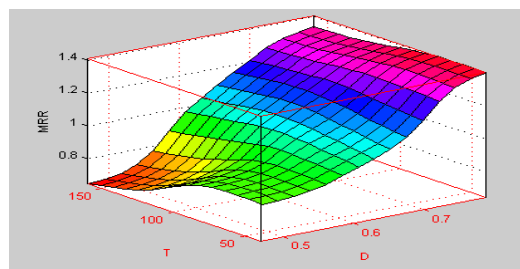


ساختار فازی تخمین میزان سنگسایی

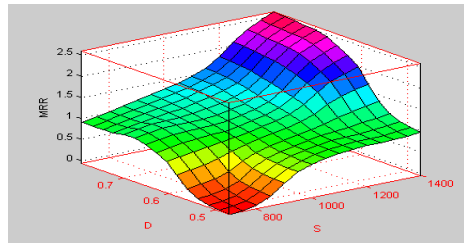
نحوه تاثیرگذاری پارامترهای ورودی بر میزان خروجی MRR در شبکه فازی اموزش دیده بخوبی مشخص میگردد برای مثال مطابق شکل زیر میتوان نتیجه گرفت که در جریانهای کم و سرعت خیلی کم یا سرعت خیلی زیاد میزان شاخص MRR کم میباشد و همچنین اگر جریان الکتریکی زیاد باشد و سرعت دوران خیلی کم یا خیلی زیاد باشد میزان شاخص سنگسایی MRR کم میباشد و بالاترین میزان میزان سنگسایی در سرعتهای زیاد و جریان متوسط حاصل میشود در زمان سیکل ثابت اگر سرعت را افزایش دهیم میزان سنگسایی بصورت غیر خطی افزایش می‌یابد. و در سرعت های خیلی کم با افزایش میزان سیکل کاری ، میزان سنگسایی تغییر زیادی نمیکند و به مقدار یک تمایل پیدا میکند و همچنین در سیکل کاری کم با افزایش سرعت دوران ، میزان سنگسایی تغییر زیادی نمیکند و به مقدار یک تمایل پیدا میکند و اگر سرعت و میزان سیکل کاری را باهم افزایش دهیم، میزان سنگسایی بصورت غیرخطی افزایش و صعودی میگردد.



نمودار تاثیر سرعت و جریان در میزان سنگسایی

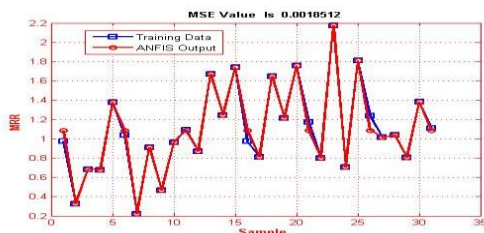


نمودار تاثیر سیکل کار و زمان در میزان سنگساي



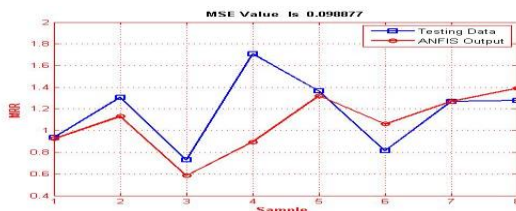
نمودار تاثیر سرعت و سیکل کاری در میزان سنگساي

با این تفاسیر نتایج تخمین میزان سنگساي MRR نمونه داده اموزش برای سیستم فازی اموزش دیده بصورت شکل زیر است که با شبکه فازی اموزش دیده بخوبی میزان MRR را برآورد پارامترهای ورودی تخمین زده است و میزان شاخص میانگین مربعات خطا بین خروجی اموزش دیده و خروجی واقعی برابر یک هزارم شده است.



نمودار نتایج سیستم فازی برای تخمین داده اموزش میزان سنگساي

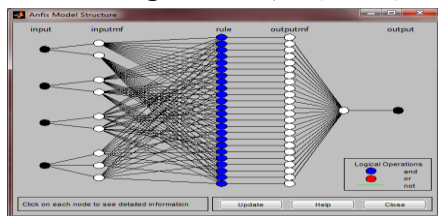
نتایج تخمین میزان سنگساي MRR نمونه داده تست برای سیستم فازی اموزش دیده بصورت شکل زیر است که با شبکه فازی اموزش دیده، میزان MRR را برآورد پارامترهای ورودی تخمین زده است و میزان شاخص میانگین خداقل مربعات خطا بین خروجی اموزش دیده و خروجی واقعی برابر نه صدم شده است.



نمودار نتایج سیستم فازی برای تخمین داده تست میزان سنگساي

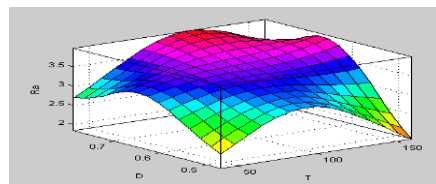
ساختار شبکه عصبی فازی با 4 ورودی و پارامتر خروجی میزان همواری سنگساي بهینه شده با ژنتیک بصورت شکل زیر میگردد که توابع عضویت لایه ورودی و لایه خروجی بصورت بلوك دایره سفید رنگ و قوانین فازی بصورت دایره رنگی مابین

دو لایه مشخص گردیده است و در قانونگذاری از عملگر منطقی اشتراک برای اعمال قوانین بین ورودی ها استفاده شده است و ۳ پارامتر ورودی اول دارای ۲ تابع عضویت و پارامتر چهارم دارای ۳ تابع عضویت است.

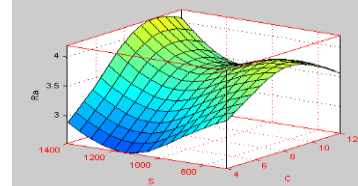


ساختار فازی تخمین میزان همواری سنگسایی

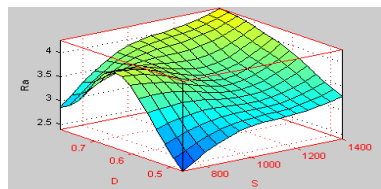
مشابه قسمت قبل، نحوه تاثیرگذاری پارامترهای ورودی بر میزان همواری سنگسایی خروجی Ra در شبکه فازی اموزش دیده بخوبی مشخص میگردد بطوریکه مطابق سه شکل زیر میتوان نتیجه گرفت که در زمان پالس خیلی کم و یا خیلی زیاد و میزان کار خیلی کم و یا خیلی زیاد میزان شاخص همواری سنگ کم میباشد و همچنین اگر زمان پالس دهی متوسط باشد یا میزان کار متوسط باشد میزان شاخص همواری سنگسایی زیاد میباشد و همچنین اگر جریان کم باشد در سرعتهای میانی میزان همواری کاهش شدید پیدا میکند و در سرعتهای بالا زمانی میزان همواری سنگسایی حداقل میگردد که میزان سیکل کار بالا و در حدود 0/8 باشد.



نمودار تاثیر زمان پالس و سیکل کار در میزان همواری سنگسایی

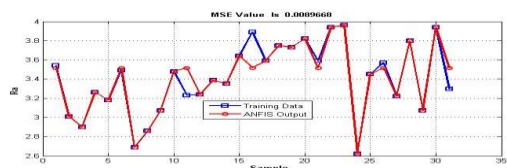


نمودار تاثیر جریان و سرعت در میزان همواری سنگسایی



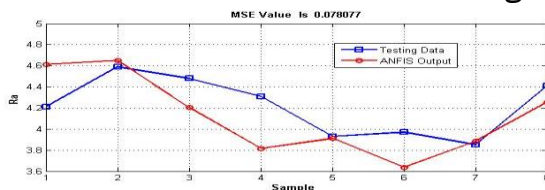
نمودار تاثیر سرعت و سیکل کار در میزان همواری سنگسایی

با این تفاسیر نتایج تخمین میزان همواری سطح سنگسایی Ra نمونه داده اموزش برای سیستم فازی اموزش دیده بصورت شکل زیر است که با شبکه فازی اموزش دیده بخوبی همواری سطح سنگسایی Ra را براساس پارامترهای ورودی تخمین زده است و میزان شاخص میانگین مربعات خطای بین خروجی اموزش دیده و خروجی واقعی برابر چند هزارم شده است.



نمودار نتایج سیستم فازی برای تخمین داده اموزش میزان همواری سنگسایی

نتایج تخمین میزان همواری سنگسایی R_a نمونه داده تست برای سیستم فازی اموزش دیده بصورت شکل زیر است که با شبکه فازی اموزش دیده، میزان همواری را براساس پارامترهای ورودی تخمین زده است و میزان شاخص میانگین خداقل مربعات خطأ بین خروجی اموزش دیده و خروجی واقعی برابر هفت صدم شده است که بیانگر دقیق تخمین نتایج مدل فازی در مقایسه با داده های آزمایشگاهی است.



نمودار نتایج سیستم فازی برای تخمین داده تست میزان همواری سنگسایی

نتیجه گیری و پیشنهادات

- در چند دهه اخیر جهت ماشینکاری مواد سخت که ماشینکاری آنها توسط روش‌های سنتی مشکل است، فرایند EDM به عنوان مناسبترین فرایند پیشنهاد و به کار گرفته شده است. در این پایان نامه الگوریتم عصبی فازی بهینه شده با الگوریتم زتیک جهت بهینه سازی فرسایش نسبی ابزار در فرایند EDM معرفی شده است. در بسیاری از سیستمهای مهندسی از جمله سیستم سنگسایی، بواسطه فقدان دانش دقیق و سازمند در رابطه با سیستم، که ناشی از رفتار شدیداً غیرخطی، درجه بالای نامعینی یا مشخصات متغیر با زمان آن است روش‌های متداول مدلسازی قابل استفاده نیست. مدلسازی نروفازی، چارچوب انعطاف‌پذیری است که در آن با ترکیب الگوهای مختلف می‌توان از یک طرف ارتباط شفافی با طراح برقرار نمود و از طرف دیگر، ابزاری برای کنترل و مدلسازی غیرخطی دقیق در اختیار داشت. ویژگی مبتنی بر قواعد بودن مدل‌های نروفازی، امکان تحلیل و تعبیر نتایج را فراهم می‌کند. روش‌های متداول ارزیابی عددی مدل می‌تواند با مهارت‌های فرد خبره (که اغلب شامل دانش مکاشفاتی و شهودی وی نیز می‌باشد) تکمیل گردد. براین اساس دو مدل عصبی فازی با ساختار مجزا برای مدلسازی دو پارامتر میزان سنگسایی و میزان همواری سطح استفاده شده است و نتایج آزمایش‌های عددی جهت ارزیابی الگوریتم مذکور دقت بالای ۹۰٪ را تائید می‌نمایند و شبکه عصبی فازی بخوبی توانسته مدلسازی فرایند سنگسایی را انجام دهد. حال با توجه به گفته‌های بالا، کارهای مختلفی در این عرصه برای بهبود نتایج مدلسازی می‌توان پیشنهاد داد. از جمله طراحی یک مدلساز با اصلاح نحوه ارتباط بین منطق فازی و شبکه عصبی که میتوان به روش‌های زیر اشاره کرد:
1. Fuzzy Neural Network: منطق فازی برای بهبود کارایی شبکه و یا افزایش توان یادگیری شبکه عصبی مورد استفاده قرار می‌گیرد. در این شبکه‌ها افودن قوانین فازی برای تغییر نرخ یادگیری و یا تغییر ورودی/ خروجی شبکه از حالت غیرفازی به فازی است. نمونه‌هایی از این دسته عبارتند از: FNN، FHSNN و GFNN.
 2. Concurrent Neuro-Fuzzy Models: شبکه عصبی و سیستم فازی بر روی یک کار واحد با یکدیگر کار می‌کنند اما تأثیری بر روی یکدیگر ندارند. هیچ‌کدام برای تعیین پارامتر دیگری به کار نمی‌روند. معمولاً در این مدل، شبکه عصبی برای پیش‌پردازش ورودی و یا خروجی سیستم فازی به کار می‌رود.
 3. Cooperative Neuro_Fuzzy Models: شبکه عصبی برای تعیین پارامترهای سیستم فازی به کار می‌رود. این پارامترها شامل قوانین فازی، وزن قوانین و مجموعه‌های فازی است.

منابع

1. Konig W, Cronjager L, Spur G, Tonshoff H K, Vigneau M, Zdeblick W J. Machining of new materials. *CIRP Annals- Manufacturing Technology*, 1990, 39(2): 673–681
2. Wang K, Gelgele H L, Wang Y, Yuan Q, Fang M. A hybridintelligent method for modelling the EDM process. *International Journal of Machine Tools & Manufacture*, 2003, 43(10): 995–999
3. Rao G K M, Janardhana G R, Rao D H, Rao M S. Development of hybrid model and optimization of surface roughness in electric discharge machining using artificial neural networks and genetic algorithm. *Journal of Materials Processing Technology*, 2009, 209 (3): 1512–1520
4. Tavoli M A, Zadeh N N, Khakhali A, Mehran M. Multi-objectiveoptimization of abrasive flow machining processes using polynomial neural networks and genetic algorithms. *Machining Science and Technology*, 2006, 10(4): 491–510
5. Sharma V, Yadava V, Rao R. Yadava, R. Rao, and Optimization of quality characteristics during Nd: YAG laser cutting of nickel based superalloy sheet for straight and curved cut profiles. *Optics and Lasers in Engineering*, 2010, 48(9): 915–925
6. Yousef B F, Knopf G K, Bordatchev E V, Nikumb S K. Neuralnetwork modeling and analysis of the material removal process during laser machining. *International Journal of Advanced Manufacturing Technology*, 2003, 22(1-2): 41–53
7. Yadav S K S, Yadava V. Multi-objective optimization of electricaldischarge diamond cutoff grinding (EDDCG) using Taguchi method. *International Journal of Manufacturing Technology and Industrial Engineering*, 2010, 1: 193–198
8. Singh G K, Yadava V, Kumar R. Experimental study and parameteroptimization of electro-discharge diamond face grinding. *International Journal of Abrasive Technology*, 2011, 4: 14–40
9. Agrawal S S, Yadava V. Artificial neural network modeling of electrical discharge diamond surface grinding (EDDSG), Proc. 7th Int. Conf. Precis. Meso, Micro and Nano Eng. Pune. 2011, 265–269
10. Joshi S N, Pande S S. Development of an intelligent process modelfor EDM. *International Journal of Advanced Manufacturing Technology*, 2009, 45(3-4): 300–317